

*М. А. Голуб, Л. Л. Досколович, Н. Л. Казанский,  
У. Н. Сисакян, В. А. Сойфер, С. И. Харитонов*

**ДИФРАКЦИОННЫЙ РАСЧЕТ ИНТЕНСИВНОСТИ СВЕТОВОГО ПОЛЯ  
ВЕЛИЗИ ФОКАЛЬНОЙ ЛИНИИ**

В работе [1] были приведены геометрикооптические алгоритмы расчета фазовой функции фокусаторов в гладкие кривые, а в [2, 3] проведен анализ их фокального поля с учетом дифракционных эффектов.

Составные фокальные области, сформированные из сегментов фокальных кривых, могут быть получены составными фокусаторами с кусочно непрерывной фазовой функцией. Метод расчета фокального светового поля от составного

фокусатора, предложенный в данной работе, учитывает специфику дифракционного формирования каждого сегмента фокальной кривой и интерференционные эффекты в местах стыковки сегментов. При этом обобщен частично геометрооптический подход к вычислению дифракционных интегралов.

Рассмотрим задачу фокусировки пучка когерентного света с длиной волны  $\lambda$  и комплексной амплитудой  $w_0(u, v)$  в составную фокальную область, представляющую объединение сегментов гладких кривых  $L_j$ ,

$$L = \bigcup_{j=1}^n L_j, \quad (1)$$

каждая из которых имеет длину  $l_j$  и описывается параметрическими уравнениями

$$\begin{cases} x = x_j(\xi_j) \\ y = y_j(\xi_j) \end{cases} \quad 0 < \xi_j < l_j, \quad (2)$$

$\xi_j$  - натуральный параметр на гладкой кривой  $L_j$ ,

$(x, y)$  - декартовы координаты в плоскости фокусировки,

$(u, v)$  - декартовы координаты в плоскости фокусатора.

Световое отверстие  $G$  может быть реализовано в виде объединения  $G = \bigcup G_j$  непересекающихся областей  $G_j$ , каждая из которых в геометрооптическом приближении обеспечивает фокусировку в гладкую кривую  $L_j$  соответственно. Поле  $w(x, y)$  в фокальной плоскости составного фокусатора  $G$  формируется путем интерференции парциальных фокальных полей  $w_j(x, y)$ , создаваемых за счет дифракции падающего пучка  $w_0(u, v)$  в областях  $G_j$  фокусатора

$$w(x, y) = \sum w_j(x, y). \quad (3)$$

Распределение интенсивности  $I_j(x, y) = |w_j(x, y)|^2$ , определяющее ширину каждого сегмента кривой  $L_j$ , исследовано в [2, 3]. Для исследования интерференционных эффектов, описываемых формулой (3), привлечем во внимание фазу парциального поля  $w_j$ , вычисляемого, например, с помощью интеграла Кирхгофа [4]

$$w_j(x, y) = \frac{k}{2\pi i f_0} \cdot \exp(ikf_0) \int_{G_j} w_0(u, v) \times \\ \times \exp\left[\frac{ik}{2f_0} \left((x-u)^2 + (y-v)^2\right) + ik\psi_j(u, v) + \psi_{0j}\right] d^2u, \quad (4)$$

где  $w_0(u, v)$  - комплексная амплитуда падающего пучка;

$\frac{k}{f_0} \cdot \psi_j(u, v)$  - геометрооптическая фазовая функция фокусатора из области  $G_j$  в сегмент кривой  $L_j$ ;

$\psi_{0j}$  - начальная фаза в области  $G_j$ ;

$f_0$  - фокусное расстояние;  $k = 2\pi/\lambda$ .

Расчет фокального светового поля прямым вычислением интеграла Кирхгофа обладает значительной трудоемкостью как не учитывающий специфики задачи. Для упрощения общего интеграла (4) используем частично геометрооптический характер процесса фокусировки вдоль кривой  $L_j$ . А именно, будем считать, что парциальное поле  $w_j(x, y)$  во внутренней точке  $(x, y) \in L_j$  формируется лишь той частью светового фокусируемого пучка, которая излучается из окрестности соответствующего слоя. Здесь аналогично [1, 3] слоям, соответствующим точке  $(x, y) \in L_j$ , называется множество точек  $(u, v) \in G_j$ , лучи от которых сходятся в точку  $(x, y)$ . В параксиальном приближении слои фокусатора представляют собой прямые, перпендикулярные касательной  $L_j$  в рассматриваемой точке  $(x, y) \in L_j$ .

Удобно ввести, как и в [3], специальную систему координат  $\beta = (\alpha, \beta)$ , связанную со слоями в области  $G_j$ , так чтобы ось  $\beta$  совпадала с соответствующим слоем, а ось  $\alpha$  была ему перпендикулярна:

$$\begin{aligned} u &= (c(\xi) f_0 + x_0(\xi) x'_0(\xi)) x'_0(\xi) + (x'_0(\xi) \times \beta), \\ v &= (c(\xi) f_0 + x_0(\xi) x'_0(\xi)) y'_0(\xi) + (x'_0(\xi) \cdot \beta). \end{aligned} \quad (5)$$

( $\cdot$ ) - символ скалярного произведения;

( $\times$ ) - символ векторного умножения.

Вычисляя интеграл по переменной  $\alpha$  методом стационарной фазы, получаем приближенное представление интеграла (4) в виде

$$\begin{aligned} w_j(x, y) &= \sqrt{\frac{k}{2\pi f_0}} \cdot \exp\left(i(\chi_j + \psi_{0j})\right) \int d\beta \cdot \exp\left(\frac{-ik\eta_j \beta}{f_0}\right) w(\beta); \\ \chi_j &= -\frac{k}{2f_0} (x^2 + y^2) - \frac{k}{f_0} \left\{ (c(\xi_j) f_0 + \right. \\ &+ x_0 x'_0 \xi_j) \left. \left( x'_0 \xi_j(\xi_j) x + y'_0 \xi_j(\xi_j) y \right) \right\} + \\ &+ \frac{k}{f_0} \int_{\alpha_n}^0 x_0 \left( \tilde{\xi}_j(u(t, 0)) \right) \frac{dx_0(\xi_j)}{d\xi_j} dt. \\ w(\beta) &= w_0(u(0, \beta), v(0, \beta)) \cdot \left( \psi''_{\alpha\alpha}(0, \beta) \right)^{-1/2} \times e^{i\frac{\pi}{4}} - w_{kp}(\beta). \\ w_{kp}(\beta) &= \sqrt{\frac{2}{\pi}} \cdot w_0(u(s, \beta)) \sqrt{\psi_j(s, \beta) - \psi_j(0, \beta)} \times \\ &\times \left( \psi'_{j\alpha}(0, \beta) \right)^{-1} \cdot K_1 \left( \sqrt{\frac{k}{f_0} (\psi_j(s, \beta) - \psi_j(0, \beta))} \right) \quad \left| \begin{array}{l} s = \Gamma_2(\beta) \\ s = \Gamma_1(\beta) \end{array} \right. \end{aligned} \quad (6)$$

$\alpha = \Gamma_1(\beta), \alpha = \Gamma_2(\beta)$  - уравнения границ фокусатора в переменных  $\alpha$  и  $\beta$ .

$$\psi(\alpha, \beta) = -x'_0 \xi_j x_0 \cdot \alpha + (x_0 \times x'_0 \xi_j) \cdot \beta + \int_{\alpha_0}^{\alpha} x_0 \left( \xi_j(u(t, 0)) \right) \frac{dx_0}{d\xi_j} dt - \int_0^{\beta} \left( x_0(\xi_j(u(\alpha, s))) \times \frac{dx_0}{d\xi_j} \right) ds. \quad (8)$$

$$K_1(x) = \sqrt{\frac{\pi}{2}} \left( \frac{1}{\sqrt{2}} \cdot e^{i\frac{\pi}{4}} - \left( C\left(\sqrt{\frac{2}{\pi}} x\right) + iS\left(\sqrt{\frac{2}{\pi}} x\right) \right) \right),$$

где  $S(x)$ ,  $C(x)$  - интегралы Френеля;

$\xi_j$ ,  $\eta_j$  - локальные координаты в окрестности сегмента кривой  $L_j$ , связанные с координатами  $x$  и  $y$  фокальной области соотношениями

$$\begin{cases} y = y_{0j}(\xi_j) - x'_0(\xi_j)\eta_j \\ x = x_{0j}(\xi_j) - y'_0(\xi_j)\eta_j, \end{cases} \quad (9)$$

в которых  $x'_0(\xi_j) = \frac{\partial x_0(\xi_j)}{\partial \xi_j}$ ,

а значения  $x_0$ ,  $y_0$  при  $\xi_j \in [0, 1_j]$  продолжают линейно за пределы кривой  $L_j$  в окрестности ее граничных точек. Член, содержащий функцию  $K_1(x)$ , описывает эффекты, обусловленные конечностью апертуры. По сравнению с результатами [2] формула (6) наряду с интенсивностью позволяет вычислить и фазу поля в фокальной области, необходимую для исследования интерференции сегментов  $L_j$  фокальных кривых.

$$\begin{aligned} w_j(\xi_j, \eta_j) &= \frac{1}{2\pi} \sqrt{\frac{k}{f_0}} \cdot \exp\left[\frac{ik\eta_j^2}{2f_0} + i\frac{\pi}{4} + i\psi_{\Gamma_j}\right] \times \\ &\times \int \exp\left[\frac{-ik\eta_1\beta}{f_0}\right] \left[ w_0(\alpha, \beta) \sqrt{2\pi} \left( \xi_{\alpha_0} \right)^{-1/2} + \right. \\ &+ 2 w_0(\alpha, \beta) \sqrt{\psi_j(\alpha) - \psi_j(\alpha_0)} \left( \xi_j(\alpha_0) - \xi \right)^{-1} \times \\ &\times K_1\left(\sqrt{\frac{k}{f_0}} (\psi_j(\alpha) - \psi_j(\alpha_0))\right) \left. \begin{matrix} G_2(\beta) \\ G_1(\beta) \end{matrix} \right] \times \\ &\times \operatorname{rect}\left[\frac{1}{2} - \frac{\alpha_0 - G_2(\beta)}{G_1(\beta) - G_2(\beta)}\right] d\beta. \end{aligned} \quad (10)$$

$\alpha_0$  определяется из уравнения  $\xi = \xi_j(\alpha_0)$ , где  $\xi_j(\alpha)$  определяет соответствие между слоями области  $G_j$  фокусатора и соответствующими точками фокального отверстия.

$$\psi_{\Gamma_j}(\alpha) = -\xi\alpha + \int_0^{\alpha} \xi_j(u) du - \text{геометрооптическая фаза на отрезке.}$$

В качестве примера применения полученных формул приведены расчеты распределения интенсивности в фокальной области фокусатора плоского пучка прямоугольного сечения размера  $b \times b$  в контур квадрата размера  $2a \times 2a$  с параметрами  $\lambda = 0,6$  мкм,  $f_0 = 300$  мм,  $2a = 20$  мм,  $2b = 12,8$  мм. Из рис. 1 и 2 видно, что интерференция в точках стыковки - вершинах квадрата - приводит к усилению осцилляций и уширению фокальной линии вблизи вершины.

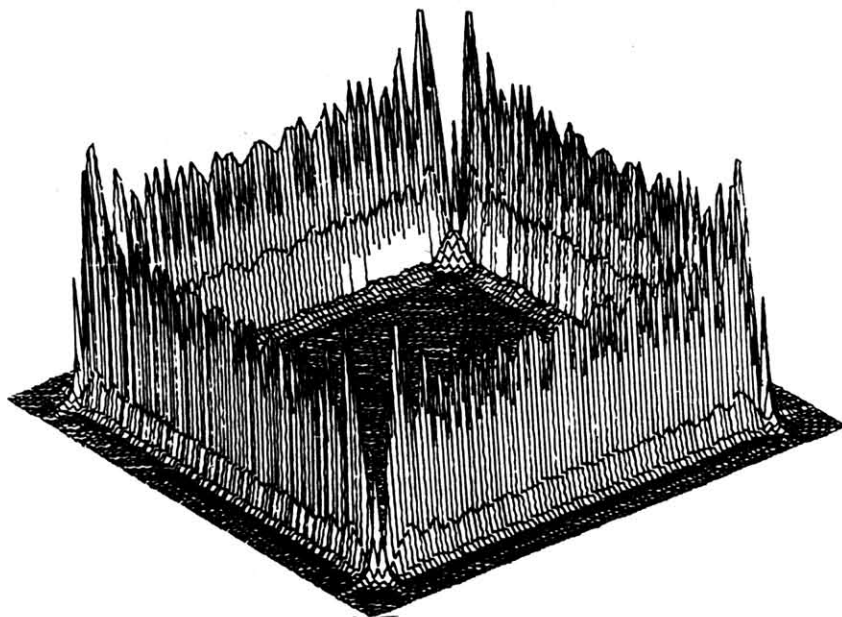


Рис. 1. Трехмерный график распределения интенсивности в фокальной области фокусатора в контур квадрата

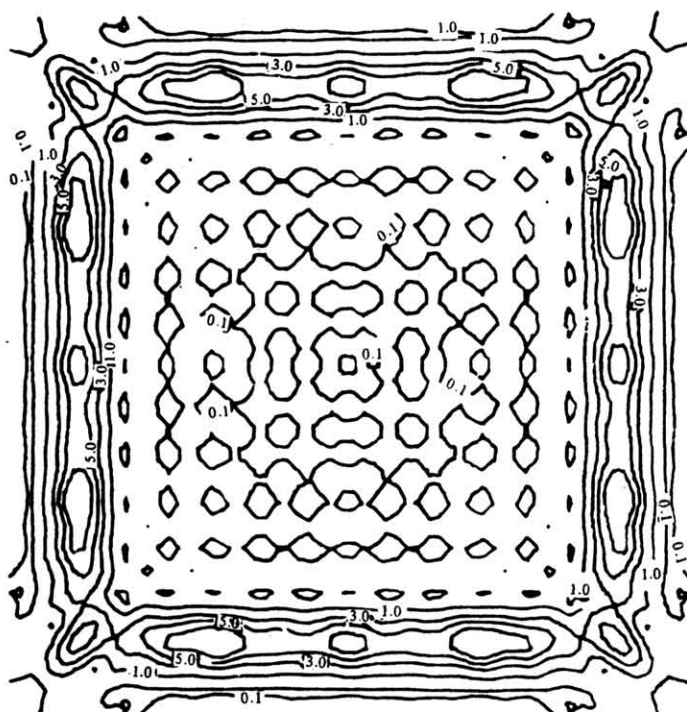


Рис. 2. Изофоты в фокальной области фокусатора в контур квадрата

Расчеты по формуле (6) позволяют найти ширину  $\Delta$  фокальной линии по уровню  $\theta$ .

$$I(x_0 - \frac{\Delta}{2}, y) = I(x_0, y), \quad (11)$$

а также энергетическую эффективность фокусатора

$$\eta = \frac{\int_{\Delta D} I(x) d^2x}{E},$$

где  $E = \int |w_0(u)|^2 d^2u$  - световой поток, падающий на фокусатор;

$\Delta D$  - расширение контура квадрата, т.е. множество точек  $(x, y)$ , отстоящих от контура на расстоянии не более  $\Delta/2$ .

В таблице показана зависимость энергетической эффективности  $\eta$  от параметра

$$\chi = \frac{\lambda f_0}{b \cdot a},$$

где  $b$  - размер фокусатора.

Из анализа результатов, приведенных в таблице, видно, что энергетическая эффективность  $\eta$  падает при приближении размеров контура к дифракционному пределу.

Зависимость энергетической интенсивности от параметра  $\kappa$

$\kappa$	0,2	0,1	$\frac{1}{15}$	$\frac{1}{20}$	$\frac{1}{50}$	$\frac{1}{100}$	$\frac{1}{200}$
$\eta$	74,7	83,2	83,5	84,5	86,8	87,9	88,7

#### Литература

1. Данилов В.А., Попов В.В., Прохоров А.М., Сагате-  
лян Д.М., Сисакян У.Н., Сойфер В.А. Письма в ЖТФ, 1982, т. 8,  
N 13, с. 810 - 815.
2. Голуб М.А., Казанский Н.Л., Сисакян У.Н., Сойфер В.А.,  
Харитонов С.У. Оптика и спектроскопия, 1989, т. 67, N 6, с.  
с. 1387-1389.
3. Голуб М.А., Харитонов С.У. Оптическая запись и обработка  
информации. Куйбышев: КуАИ, 1988, с. 19-20.
4. Папулис А. Теория систем и преобразований в оптике. М.:  
Мир, 1971.